

06.3;07

© 1995

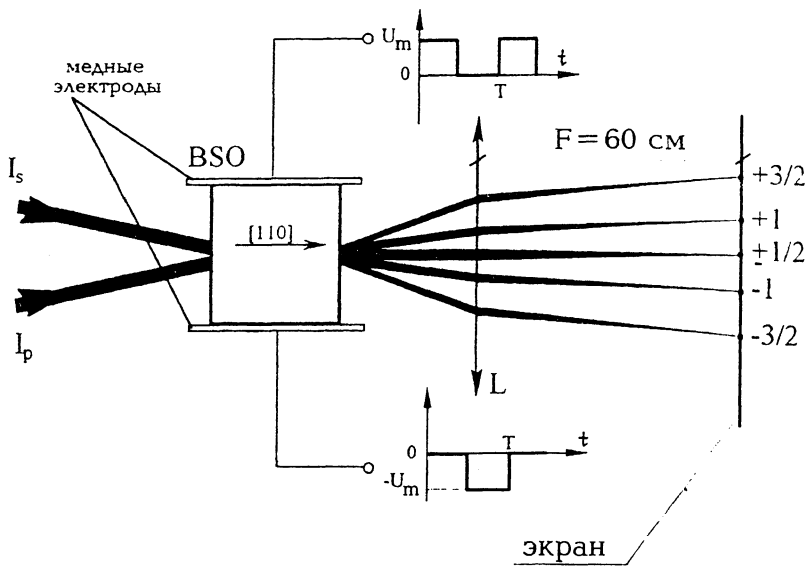
**ГЕНЕРАЦИЯ ПРОСТРАНСТВЕННЫХ  
СУБГАРМОНИК В КРИСТАЛЛЕ  $\text{Bi}_{12}\text{SiO}_{20}$ ,  
НАХОДЯЩЕМСЯ ВО ВНЕШНЕМ  
ЗНАКОПЕРЕМЕННОМ ЭЛЕКТРИЧЕСКОМ ПОЛЕ**

*P. В. Литвинов, С. Н. Питченко, А. В. Решетъко,  
С. М. Шандаров, Д. В. Якимов, В. В. Волков,  
Ю. Ф. Каргин, Е. П. Шершаков*

Взаимодействие двух когерентных световых пучков с волновыми векторами  $\mathbf{k}_1$  и  $\mathbf{k}_2$  в фоторефрактивных кристаллах приводит к образованию решетки поля пространственного заряда с вектором  $\mathbf{K} = \mathbf{k}_1 - \mathbf{k}_2$ <sup>[1]</sup>. В работе<sup>[2]</sup> была обнаружена генерация дополнительных световых пучков при взаимодействии двух волн с близкими частотами в кристалле  $\text{Bi}_{12}\text{SiO}_{20}$ , помещенном в постоянное электрическое поле для увеличения фоторефрактивного отклика. Эти дополнительные пучки связываются в настоящее время с формированием решеток поля пространственного заряда с дробными векторами  $\frac{\mathbf{K}}{2}$ ,  $\frac{\mathbf{K}}{3}$  и  $\frac{\mathbf{K}}{4}$ , то есть с пространственными субгармониками основной решетки<sup>[3]</sup>. В дальнейших работах пространственные субгармоники были обнаружены в кристалле  $\text{Bi}_{12}\text{TiO}_{20}$ <sup>[4]</sup>, а также в кристалле  $\text{Bi}_{12}\text{SiO}_{20}$ , помещенном в знакопеременное электрическое поле при одинаковых частотах взаимодействующих световых волн<sup>[5]</sup>.

Генерация субгармоник наблюдалась при использовании лазерных пучков с длинами волн  $\lambda = 514$  нм для кристаллов  $\text{Bi}_{12}\text{SiO}_{20}$ <sup>[4]</sup> и  $\lambda = 568$  нм для кристаллов  $\text{Bi}_{12}\text{TiO}_{20}$ <sup>[5]</sup>. В данном письме сообщается о первом, по нашим сведениям, наблюдении пространственных субгармоник на длине волны  $\lambda = 633$  нм в кристалле  $\text{Bi}_{12}\text{SiO}_{20}$ .

Генерация субгармоник наблюдалась нами в стандартной схеме двухпучкового взаимодействия<sup>[1]</sup>, показанной на рисунке. Внешнее напряжение в форме меандра с частотой  $f = 1/T$  и амплитудой  $U_m$  прикладывалось к медным прямоугольным пластинам, которые прижимались к боковым граням кристалла. Период фундаментальной фоторефрактивной решетки  $\Lambda$  задается пространственной частотой  $K = 2\pi/\Lambda$  интерференционной картины, образованной в кристалле при пересечении пучка накачки (интенсивность  $I_p$ ) с сигнальным пучком (интенсивность  $I_s$ ).



Экспериментальная схема наблюдения генерации пространственных субгармоник при двухпучковом взаимодействии в фоторефрактивном кристалле  $\text{Bi}_{12}\text{SiO}_{20}$ .

Кристалл  $\text{Bi}_{12}\text{SiO}_{20}$  с примесью  $\text{CdO}$ , использованный в экспериментах, выращивался методом Чохральского. Вырезанный из були образец имел полированные грани и размеры  $10.1 \times 8.1 \times 7.9$  мм в соответствующих кристаллографических направлениях  $[110] \times [\bar{1}10] \times [001]$ . Удельное вращение плоскости поляризации света ( $\lambda = 633$  нм) составляло  $\rho = 22.2$  град/мм и было направлено против часовой стрелки, если смотреть по ходу луча. Значение электрооптического коэффициента свободного кристалла, измеренного в синусоидальном поле по методике [6], было равно  $r_{41}^T = 5.9 \cdot 10^{-12}$  м/В. Концентрация компенсирующих акцепторных центров и произведение подвижности электронов на время их рекомбинации имели соответствующие значения  $N_A = 4.8 \cdot 10^{20}$  м $^{-3}$  и  $\mu\tau_R = 5.4 \cdot 10^{-12}$  м $^2$ /В. Эти параметры соответствуют одноуровневой модели фоторефрактивного кристалла [7]. Их значения определялись путем подгонки (по методу наименьших квадратов) теоретической зависимости коэффициента двухпучкового усиления  $\Gamma$  от периода решетки  $\Lambda$  под экспериментальные точки. Коэффициент двухпучкового усиления  $\Gamma$  измерялся в режиме малых контрастов интерференционной картины ( $m = 2 \cdot \sqrt{I_p I_s} / (I_p + I_s) = 0.056$ ), когда генерации субгар-

моник не наблюдалось. Частота внешнего поля составляла при этом величину  $f = 300$  Гц, а его амплитуда в кристалле равнялась  $E_0 = 10.1$  кВ/см. Интенсивность пучка накачки на входной грани образца в этом случае была равна  $I_p = 90$  мВт/см<sup>2</sup>. Отметим, что в целом поведение коэффициента двухпучкового усиления  $\Gamma$  в исследованном образце не подчинялось одноуровневой модели. Например, стирание фоторефрактивной решетки ( $\Lambda = 13$  мкм) пучком накачки с интенсивностью 120 мВт/см<sup>2</sup> во внешнем поле с приведенными выше параметрами описывалось суммой двух экспоненциальных функций с временами релаксации  $\tau_f = 2.8$  с и  $t_s = 30$  с. Коэффициент усиления зависел также от средней интенсивности света в интерференционной картине  $I_0 = I_p + I_s$ . При тех же параметрах внешнего поля и периоде решетки  $\Lambda = 13$  мкм эта зависимость хорошо соответствовала функции  $\Gamma = \Gamma_{\text{sat}} / \left(1 + \frac{\beta}{I_0}\right)$  с параметрами  $\Gamma_{\text{sat}} = 3.54$  см<sup>-1</sup> и  $\beta = 6.6$  см<sup>2</sup>/мВт. Все описанные выше экспериментальные результаты были получены при ориентации вектора напряженности внешнего поля  $\mathbf{E}_0$  вдоль кристаллографической оси [001].

При этой же ориентации вектора напряженности внешнего поля  $\mathbf{E}_0$  и при увеличении глубины модуляции света в интерференционной картине для  $m > 0.22$  ( $E_0 = 10.1$  кВ/см,  $\Lambda = 20$  мкм,  $I_p = 45$  мВт/см<sup>2</sup>) на картинках светового поля в фокальной плоскости линзы  $L$  (см. рисунок) появились дополнительные дифракционные максимумы. Их положение соответствовало пространственным субгармоникам  $\frac{\mathbf{K}}{2}$  и  $\frac{\mathbf{K}}{3}$  основной решетки. Генерация субгармоники  $\frac{\mathbf{K}}{2}$  наблюдалась для периодов основной решетки  $\Lambda \geq 11$  мкм и в широком диапазоне частот внешнего меандрового поля  $f = 100-2000$  Гц и носила устойчивый характер. Соответствующие этой субгармонике дифракционные максимумы обозначены на рисунке как  $\pm\frac{1}{2}$ ,  $\pm\frac{3}{2}$  и  $-\frac{3}{2}$ . Пороговое значение амплитуды меандрового поля было равно  $E_0 = 9.3$  кВ/см при  $m = 1$  и слабо зависело от периода решетки при  $\Lambda \geq 11$  мкм.

Наблюдаемые в экспериментах дифракционные картины зависели от ориентации внешнего электрического поля  $\mathbf{E}_0$  в образце. При  $\mathbf{E}_0 \parallel [001]$  наблюдалась дифракция в дробные порядки  $\pm\frac{1}{2}$ ,  $\pm\frac{3}{2}$  при линейной поляризации входных пучков  $I_p$  и  $I_s$ , ориентированной как вдоль направления  $[\bar{1}10]$ , так и вдоль [001]. Отметим, что это соответствует условиям наблюдения фоторефрактивных субгармоник в большинстве

известных работ [<sup>2,4,5</sup>]. Для  $E_0 \parallel [\bar{1}10]$  наблюдалась дифракция только в дробные порядки  $\pm \frac{3}{2}$ .

Работа выполнена при частичной финансовой поддержке Международного научного фонда (грант № RI5000).

### Список литературы

- [1] Петров М.П., Степанов С.И., Хоменко А.В. Фоторефрактивные кристаллы в когерентной оптике. СПб.: Наука, 1992. 320 с.
- [2] Mallick S., Imbert B., Ducollet H., Herriau J.P., Huignard J.P. // J. Appl. Phys. 1988. V. 63. N 12. P. 5660–5663.
- [3] Блендовский А., Оттен Д., Рингофер К., Стурман Б. // ЖЭТФ. 1992. Т. 102. В. 2(8). С. 406–423.
- [4] Takacs J., Schaub M., Solymar L. // Opt. Commun. 1992. V. 91. N 3, 4. P. 252–254.
- [5] Takacs J., Solymar L. // Opt.Let. 1992. V. 17. N 4. P. 247–248.
- [6] Волков В.В., Каргин Ю.Ф., Литвинов Р.В., Шандаров С.М. // ЖТФ. 1993. N 10. С. 74–78.
- [7] Kukhtarev N.V., Marcov V.B., Odulov S.G., Soskin M.S., Vinetskii V.L. // Ferroelectric. 1979. V. 22. P. 949–960.

Томская государственная  
академия систем управления  
и радиоэлектроники;  
Институт общей и неорганической  
химии им. Н.С. Курнакова  
Москва;  
Технический университет  
Челябинск

---

Поступило в Редакцию  
11 ноября 1994 г.